

温度对 AO - MBR 运行效果及微生物菌群的影响

张 凯¹, 夏星星¹, 孙 欣¹, 张佳奇¹, 孙建升¹, 王 萍², 梁金峰³

(1. 中国市政工程华北设计研究总院有限公司, 天津 300074; 2. 乐陵市住房和城乡建设局,
山东 乐陵 253600; 3. 乐陵市自然资源局, 山东 乐陵 253600)

摘要: 监测缺氧 - 好氧膜生物反应器(AO - MBR)长期运行过程中的膜污染特性、脱氮效果和微生物菌群特征变化,以考察温度的影响。结果发现,随着温度的上升,AO - MBR 的平均膜清洗周期由冬季低温时的 18 d 延长至夏季高温时的 30 d,这可能与污泥黏度、EPS 含量和微生物菌群变化有关。在夏季高温时,虽然 AO - MBR 的污泥总氮负荷较高,但是仍有出水氨氮和总氮浓度低于冬季低温时。对污泥的微生物菌群进行分析发现,夏季的菌群多样性较高,而且参与脱氮的 *Nitrospirae*、*Acidobacteria* 和 *Planctomycetes* 相对丰度较高,这可能是夏季脱氮效果较好的原因之一。

关键词: 缺氧 - 好氧膜生物反应器; 温度; 脱氮; 微生物菌群; 膜污染

中图分类号: TU992 **文献标识码:** A **文章编号:** 1000 - 4602(2019)13 - 0107 - 05

Effect of Temperature on Performance and Microbial Community of AO - MBR

ZHANG Kai¹, XIA Xing-xing¹, SUN Xin¹, ZHANG Jia-qi¹, SUN Jian-sheng¹,
WANG Ping², LIANG Jin-feng³

(1. North China Municipal Engineering Design & Research Institute Co. Ltd., Tianjin 300074, China;
2. Laoling Housing and Urban-Rural Development Bureau, Laoling 253600, China; 3. Laoling Natural
Resources Bureau, Laoling 253600, China)

Abstract: The membrane fouling, nitrogen removal effect and microbial community of an anoxic-oxic membrane bioreactor (AO - MBR) during long-term operation were systematically investigated under different temperatures. The results showed that the average membrane cleaning cycle of the AO - MBR was increased from 18 days to 30 days with the temperature increasing from a low value in the winter to a high value in the summer. This might be related to the change of sludge viscosity, EPS content and microbial community. Although TN load of the sludge in the AO - MBR was higher at high temperature in the summer than that in the winter, the $\text{NH}_4^+ - \text{N}$ and TN concentration in the effluent were lower in some days in the summer than that in the winter. It was found that the sludge had higher diversity in summer according to analysis of the microbial community, and the relative abundance of *Nitrospirae*, *Acidobacteria* and *Planctomycetes* which played a key role in nitrogen removal was higher than those in the winter. This might explain why effective removal of nitrogen was obtained in the summer.

Key words: AO - MBR; temperature; nitrogen removal; microbial community; membrane fouling

膜生物反应器(MBR)作为一种新型、高效的污水处理技术,具有固液分离效果好、污泥浓度高、对

有机物和氮的去除效率高等优点,得到了越来越广泛的应用。配合其他处理工艺,MBR 的出水水质可

达到回用标准,从而可部分缓解淡水资源短缺的问题^[1]。在 MBR 实际运行过程中,随着季节的变化,水温变化幅度可达 30 ℃以上,这会对 MBR 的运行效能产生重要影响。一方面,水温会影响活性污泥的黏性等动力学指标,从而影响膜污染变化;另一方面,水温会影响污泥活性,有研究发现水温对 MBR 去除有机物的效果影响不显著,但是当水温 <13 ℃ 时硝化反应会受到抑制^[2]。因此,非常有必要从膜污染、污染物去除效果和污泥微生物菌群等多方面对温度的影响展开系统研究。

传统上 PCR - DGGE 等分子生物学手段可以用来分析微生物菌群的分布,但是活性污泥中的微生物菌群复杂、丰度差异很大,传统的分子生物学方法往往不能有效区分,尤其是对低丰度菌群分辨率较低。454 焦磷酸高通量测序具有分析结果准确、快速、测序深度较深等优点,被越来越多地应用于活性污泥微生物菌群结构的研究中^[3]。笔者在长期监测缺氧 - 好氧膜生物反应器(AO - MBR)的跨膜压差(TMP)和脱氮效果的基础上,利用 454 焦磷酸高通量测序方法重点分析了冬季和夏季不同温度时污泥的微生物菌群特征,以期为 AO - MBR 的运行调控提供理论支持。

1 材料与方法

1.1 试验装置

AO - MBR 试验装置的缺氧区和好氧区有效容积均为 21 L。好氧区中平行设置 2 片 PVDF 平板膜,平均膜孔径为 0.2 μm,总有效过滤面积为 0.48 m²。在平板膜下方安装穿孔曝气管,由鼓风机提供活性污泥所需的溶解氧(DO)和膜面气水冲刷,膜区单位投影面积的曝气量为 1.2 m³/(m² · min)。蠕动泵和压力计连接在膜出水管上,通过蠕动泵抽吸出水,并通过压力计监测 TMP。

AO - MBR 接种污泥为城市生活污水处理厂好氧区污泥,稳定运行 3 个月后开始记录数据;进水为实际生活污水;膜通量设定为 10 L/(m² · h);出水蠕动泵抽吸 10 min 后停歇 2 min 以控制膜污染;每天排放一定量的剩余污泥,控制污泥龄为 30 d;缺氧区和好氧区的水力停留时间(HRT)均为 5.2 h,总 HRT 为 10.4 h;回流比为 200%;好氧区 DO 控制在 3~6 mg/L,缺氧区 DO 控制在 0.3 mg/L 以下;当 TMP 达到 25~30 kPa 时使用 0.5% (体积分数) 的 NaClO 溶液化学清洗 2 h。

1.2 分析指标与测试方法

1.2.1 常规指标测试

COD、总氮、氨氮、硝酸盐氮、亚硝酸盐氮、MLSS、MLVSS 等指标采用国家标准方法测定。其中,进水取样后直接测定各项指标,出水取样后直接测定 COD 和 TN 浓度,出水过滤后测定氨氮、硝酸盐氮和亚硝酸盐氮浓度。

1.2.2 微生物菌群测试和分析

在冬季和夏季分别取 AO - MBR 装置中的污泥样品,使用 FastDNA® SPIN Kit for Soil 试剂盒(MP Biomedicals, Solon, OH, 美国)提取 DNA。以 16S rRNA 的 V1 - V3 区域为目标区域,以 27F(5' - AGAGTTGATCCTGGCTCA - 3') 和 533R(5' - TTACCCGGCTGCTGCCAC - 3') 作为引物,采用热循环方法对提取的 DNA 进行 PCR 扩增,扩增方法详见文献[4]。扩增后的 DNA 混合物使用 UNIQ - 10 PCR Purification 试剂盒(Sangon, 中国)进行提纯并使用 TBS - 380 试剂盒(Turner BioSystems, Inc., 美国)进行测定。然后利用 Roche 454 GS - FLX Titanium 平台(Roche 454 Life Sciences, Branford, CT, 美国)进行焦磷酸测序。去除长度低于 200 bp 的序列、反向引物不能识别的序列和包含模糊碱基的序列以提高数据的准确性。最终,在 silva 数据库中对获得的序列进行 kmer 检索。以 97% 置信区间或 95% 置信区间作为判断依据,根据 MOTHUR 方法,将获得的碱基序列分成不同的操作分类单位(OTU)。以置信度 80% 为判断依据,根据 Naive Bayesian Classifier 方法,在生物学分类的门水平上将获得的序列进行分类。

2 结果与讨论

2.1 不同温度下 AO - MBR 的运行情况

2.1.1 TMP 变化

本研究连续监测了 AO - MBR 在一年中的运行数据,TMP 和水温的变化情况如图 1 所示。可以看出,在一年中水温变化幅度较大,从冬季最低 2 ℃至夏季最高 36 ℃,变化幅度达到了 34 ℃。相应地,在不同水温条件下 TMP 的变化情况不同。例如,在 2018 年 1 月 3 日—3 月 14 日,水温变化范围为 2~16 ℃,清洗次数为 4 次,平均清洗周期为 18 d;在 2018 年 3 月 15 日—6 月 1 日,水温变化范围为 8~27 ℃,清洗次数为 4 次,平均清洗周期为 20 d;在 2018 年 6 月 2 日—9 月 1 日,水温变化范围为 20~

36 °C, 清洗次数为3次, 平均清洗周期为30 d。随着温度上升, 清洗周期延长, 膜污染减轻。其原因一方面是水温上升, 污泥黏度下降^[2], 曝气冲刷的扰动增强; 另一方面, 温度较高时污泥活性增强, 对胞外聚合物(EPS)的降解能力增强, 因此EPS浓度下降, 减少了膜污染^[5]。

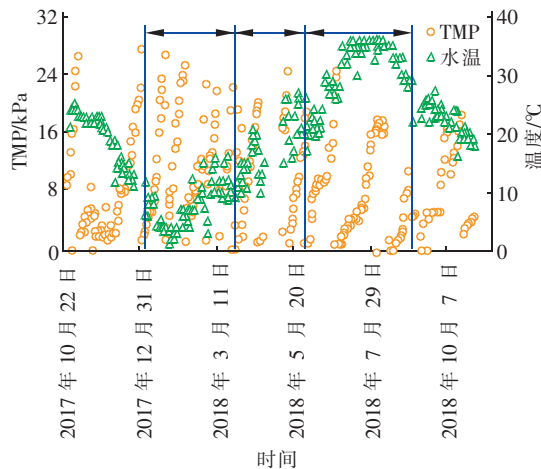


图1 AO-MBR的TMP和水温变化

Fig. 1 Change of TMP and temperature in AO-MBR

2.1.2 脱氮效果变化

为了明晰不同温度下AO-MBR的脱氮效果, 首先考察了不同温度下进水污染物浓度和污泥浓度的变化。在2018年1月3日—3月14日的冬季低温和6月2日—9月1日的夏季高温条件下, 进水COD平均浓度分别为446和334 mg/L, 进水TN平均浓度分别为56.7和49.3 mg/L。夏季进水COD和TN浓度较低可能是因为夏季生活用水量和雨水量增加, 进水污染物浓度被稀释。相应地, 进水有机负荷的降低导致污泥浓度发生变化, 在冬季MLSS、MLVSS平均值分别为7.1、5.2 g/L, 而夏季分别为5.9、3.6 g/L。计算可得冬季和夏季的污泥总氮负荷分别为25.0、31.5 mg/(gMLVSS·d)。

由于AO-MBR对COD的去除效果良好, 本研究的长期监测显示出水COD浓度均满足国家一级A标准, 因此重点考察AO-MBR对氮的去除效果, 如图2所示。可以看出, AO-MBR的出水氮浓度随温度而变化。例如, 在冬季低温时出水NH₄⁺-N浓度为(1.6±2.5) mg/L, 夏季高温时降至(0.3±0.2) mg/L。这可能是因为在夏季高温时氨氧化细菌和亚硝酸盐氧化细菌的活性均有所上升, 因此出水NH₄⁺-N浓度下降。相比传统的AO活性污泥工

艺, 本研究中AO-MBR冬季低温时出水NH₄⁺-N浓度仍能保持在较低水平, 这可能与AO-MBR污泥龄长、污泥浓度较高以及硝化细菌累积有关^[3]。在冬季低温时出水TN浓度为(19.2±5.8) mg/L, 仅可以达到一级B标准;而在夏季高温时下降至(12.8±5.6) mg/L, 可以满足一级A标准要求。由出水NO₃⁻-N和NO₂⁻-N浓度可知, 冬季和夏季的出水TN大部分由NO₃⁻-N构成, 无NO₂⁻-N累积。这说明, 虽然夏季污泥总氮负荷较高, 但是仍然具有较好的脱氮效果, 反硝化速率较快, 这可能与污泥活性以及菌群结构变化有关^[6]。

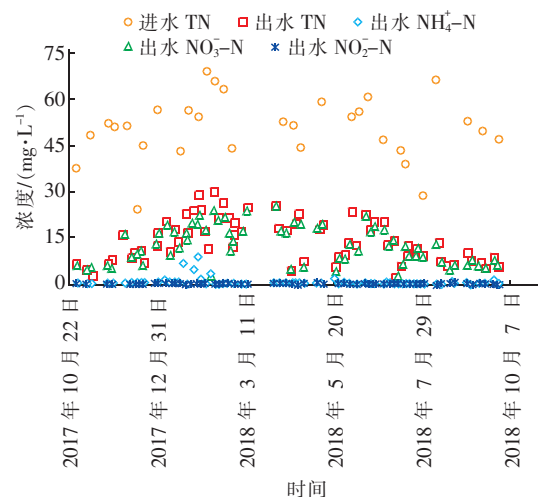


图2 AO-MBR的进出水氮浓度

Fig. 2 Nitrogen concentration of the influent and effluent in AO-MBR

2.2 冬季和夏季的微生物菌群变化

2.2.1 菌群多样性变化

在AO-MBR运行过程中, 选择较为典型的两个时段, 即冬季低温和夏季高温时段测试污泥的微生物菌群序列。将获得的序列划分成不同的OTU, 97%置信区间($\alpha=0.03$)和95%置信区间($\alpha=0.05$)的稀释性曲线如图3所示。在 $\alpha=0.03$ 条件下, 随着读取序列数量的增加, OTU数量也在增加, 但是在相同序列数量时, 冬季污泥样品生成的OTU数量低于夏季污泥样品。在 $\alpha=0.05$ 条件下也有同样的趋势。这说明在相同序列数量的情况下冬季微生物种类低于夏季, 即冬季的菌群多样性较低。

根据图3的数据, 可进一步计算ACE、Chao1和Shannon指数, 结果如表1所示。Chao1指数为读取的序列数量趋向于无穷大时可能生成的OTU数量,

ACE 和 Chao1 指数均与样品的菌群丰富程度有关。冬季污泥样品的 ACE 和 Chao1 指数小于夏季污泥样品,说明冬季污泥样品的菌群丰富程度低于夏季。Shannon 指数是反映菌群多样性的指标^[4],冬季污泥样品的 Shannon 指数小于夏季污泥样品同样说明前者的菌群多样性低于后者。在 $\alpha=0.05$ 条件下也有相同规律。由此进一步证明了冬季污泥样品的菌群多样性低于夏季。Luo 等人^[7]的研究也发现了类似规律,当温度由 25 ℃ 上升至 30 ℃ 时,AO 活性污泥工艺中微生物菌群的多样性增加,且硝化和反硝化效果均上升。

表 1 冬季和夏季污泥样品的菌群多样性指标

Tab. 1 Richness indicator of sludge samples in winter and summer

项 目	$\alpha=0.03$			$\alpha=0.05$		
	Shannon 指数	ACE 指数	Chao1 指数	Shannon 指数	ACE 指数	Chao1 指数
冬季	14 822	8 045	6.76	10 406	5 888	6.52
夏季	27 614	13 407	7.15	21 316	11 041	7.00

2.2.2 菌群结构变化

为了进一步明确冬季低温和夏季高温时 AO - MBR 中的具体菌群信息,本研究对比了门水平上的相对丰度,结果如图 4 所示。相对丰度指该菌群序列数量在总序列数量中所占比例, No_Rank 指没有明确的生物学分类的序列,others 为相对丰度低于 0.1% 的菌群的序列数量在总序列数量中所占比例。

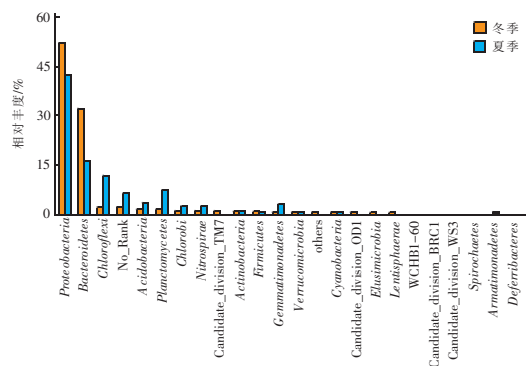


图 4 冬季和夏季污泥样品的菌群结构对比

Fig. 4 Comparison of microbial community of sludge samples in winter and summer

从图 4 可以看出,在冬季和夏季均是变形菌门 *Proteobacteria* 和拟杆菌门 *Bacteroidetes* 占据优势。有文献认为 *Bacteroidetes* 能够降解有机物、同时释放蛋白质类 EPS^[8],冬季时 *Bacteroidetes* 相对丰度为 32.2%,高于夏季的相对丰度,这可能也是冬季膜污染较为严重的原因之一。*Chloroflexi* 被认为与污泥

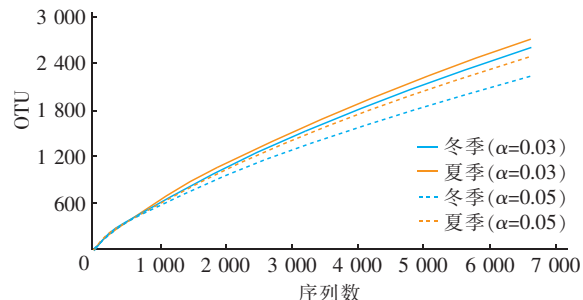


图 3 冬季和夏季污泥样品的菌群稀释性曲线

Fig. 3 Rarefaction curve of the sludge samples in winter and summer

颗粒化有关^[9],夏季 *Chloroflexi* 相对丰度为 11.8%,高于冬季的 2.2%,这可能造成污泥絮体结构变化,从而使 AO - MBR 的运行状况不同。*Nitrospirae* 是一类亚硝酸盐氧化菌^[10],其在夏季的相对丰度较高可能与夏季硝化效果较好、出水 $\text{NH}_4^+ - \text{N}$ 浓度较低有关。*Acidobacteria* 和 *Planctomycetes* 在污水系统中被广泛检出,并且与氮的去除过程有关^[7,11],其相对丰度在夏季分别为 3.6% 和 7.4%,高于冬季的 1.5% 和 1.3%,这可能使得 AO - MBR 在夏季的脱氮效果更好。

3 结论

长期监测发现,随着温度的上升,AO - MBR 平均膜清洗周期由冬季低温时的 18 d 延长至夏季高温时的 30 d,这可能与污泥黏度、EPS 含量和微生物菌群变化有关。在夏季高温时,虽然 AO - MBR 的污泥总氮负荷较高,但是仍有出水氨氮和总氮浓度低于冬季低温时。对污泥的微生物菌群进行分析发现,夏季的菌群多样性较高,而且参与脱氮的 *Nitrospirae*、*Acidobacteria* 和 *Planctomycetes* 菌门相对丰度较高,这可能是夏季脱氮效果较高的原因之一。

参考文献:

- [1] 李国东. AO 生物膜 - MBR - 炭滤用于煤矿生活污水处理工程改造 [J]. 中国给水排水, 2018, 34 (16): 106 - 110.

- Li Guodong. Application of AO biofilm, MBR, and activated carbon filtration process in coal mine domestic sewage reconstruction project [J]. China Water & Wastewater, 2018, 34(16): 106–110 (in Chinese).
- [2] 王贺,周瑜,李秀芬,等. 温度对浸没式MBR运行及污泥性质的影响[J]. 水处理技术,2018,44(10):66–70.
- Wang He,Zhou Yu,Li Xiufen,*et al.* Effect of operating temperature on submerged MBR operation and sludge properties[J]. Technology of Water Treatment,2018,44(10):66–70 (in Chinese).
- [3] 黄菲,梅晓洁,王志伟,等. 冬季低温下MBR与CAS工艺运行及微生物群落特征[J]. 环境科学,2014,35(3):1002–1008.
- Huang Fei,Mei Xiaojie,Wang Zhiwei,*et al.* Diversity of operation performance and microbial community structures in MBR and CAS processes at low temperature [J]. Environmental Science,2014,35(3):1002–1008 (in Chinese).
- [4] Ma J X,Wang Z W,Yang Y,*et al.* Correlating microbial community structure and composition with aeration intensity in submerged membrane bioreactors by 454 high-throughput pyrosequencing[J]. Water Res,2013,47(2):859–869.
- [5] Nevot M,Deroucelé V,Montes M J,*et al.* Effect of incubation temperature on growth parameters of *Pseudoalteromonas antarctica* NF and its production of extracellular polymeric substances[dagger] [J]. J Appl Microbiol, 2008,105(1):255–263.
- [6] 陈翠忠,高宇学,王文迪,等. 温度对SBR生物脱氮效能的长期影响[J]. 环境工程,2018,36(6):68–72.
Chen Cuizhong,Gao Yuxue,Wang Wendi,*et al.* Long-term effect of temperature on the performance of nitrogen removal in sequencing batch reactor (SBR) [J]. Environmental Engineering, 2018, 36 (6): 68 – 72 (in Chinese).
- [7] Luo H L,Song Y D,Zhou Y X,*et al.* Effects of rapid temperature rising on nitrogen removal and microbial community variation of anoxic/aerobic process for ABS resin wastewater treatment [J]. Environ Sci Pollut Res, 2017,24(6):5509–5520.
- [8] Wang Z,Zhang X X,Huang K L,*et al.* Metagenomic profiling of antibiotic resistance genes and mobile genetic elements in a tannery wastewater treatment plant [J]. Plos One,2013,8(10):e76079.
- [9] 王晗,李瀚翔,陈猷鹏,等. 盐度条件下ANAMMOX-EGSB反应器颗粒污泥微生物群落[J]. 环境科学,2019,40(4):1906–1913.
- Wang Han,Li Hanxiang,Chen Youpeng,*et al.* Microbial community of granular sludge in an ANAMMOX – EGSB reactor under saline conditions [J]. Environmental Science,2019,40(4):1906 – 1913 (in Chinese).
- [10] Wang P,Yu Z,Qi R,*et al.* Detailed comparison of bacterial communities during seasonal sludge bulking in a municipal wastewater treatment plant [J]. Water Res, 2016,105:157 – 166.
- [11] Cheng C,Zhou Z,Pang H J,*et al.* Correlation of microbial community structure with pollutants removal, sludge reduction and sludge characteristics in micro-aerobic side-stream reactor coupled membrane bioreactors under different hydraulic retention times [J]. Bioresour Technol,2018,260:177 – 185.



作者简介:张凯(1968–),男,湖北赤壁人,大学本科,高级工程师,主要从事城市给水排水、污水处理、海绵城市、水环境的规划、设计与研究工作。

E-mail:zk-zhang@163.com

收稿日期:2019–04–21